

J

F O T O S

34041



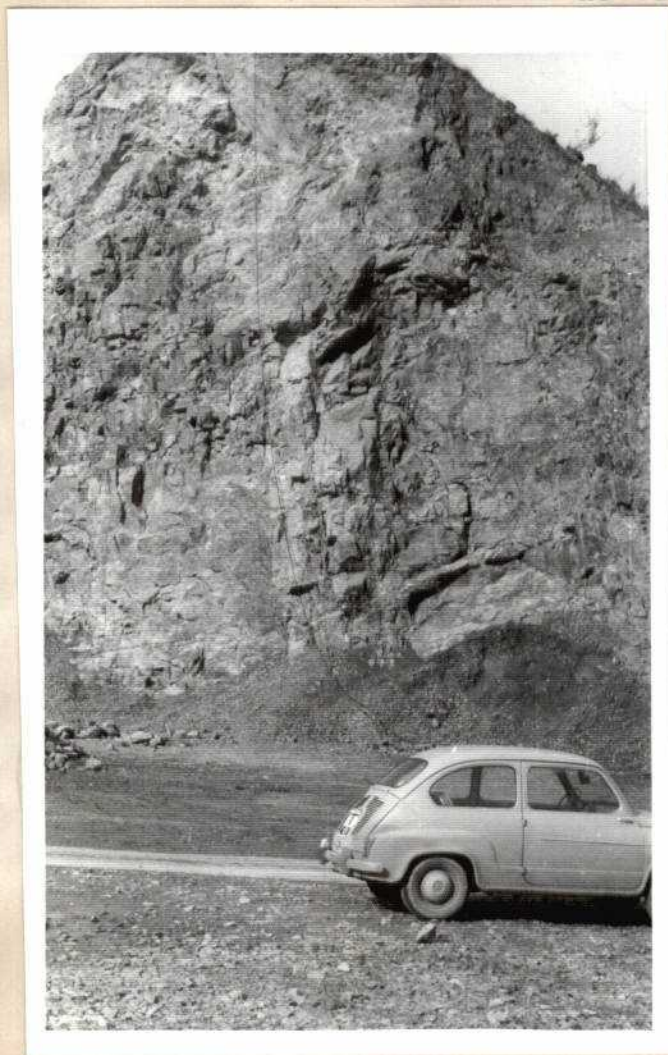
Balneario de Belascoain.



Vista panorámica del diapiro de Salinas de Oro,
al fondo caliza Luteciense.



Canteras de ofitas en Salinas de Oro.



Canteras de ofitas en Salinas de Oro.



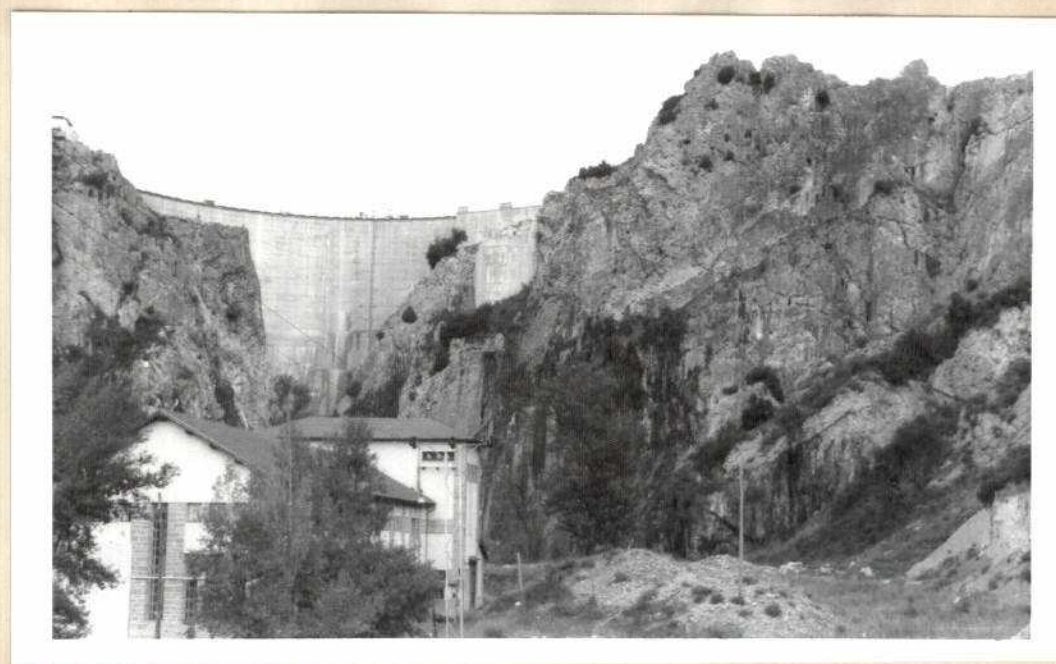
Caliza luteciense de la sierra de Sárvil.



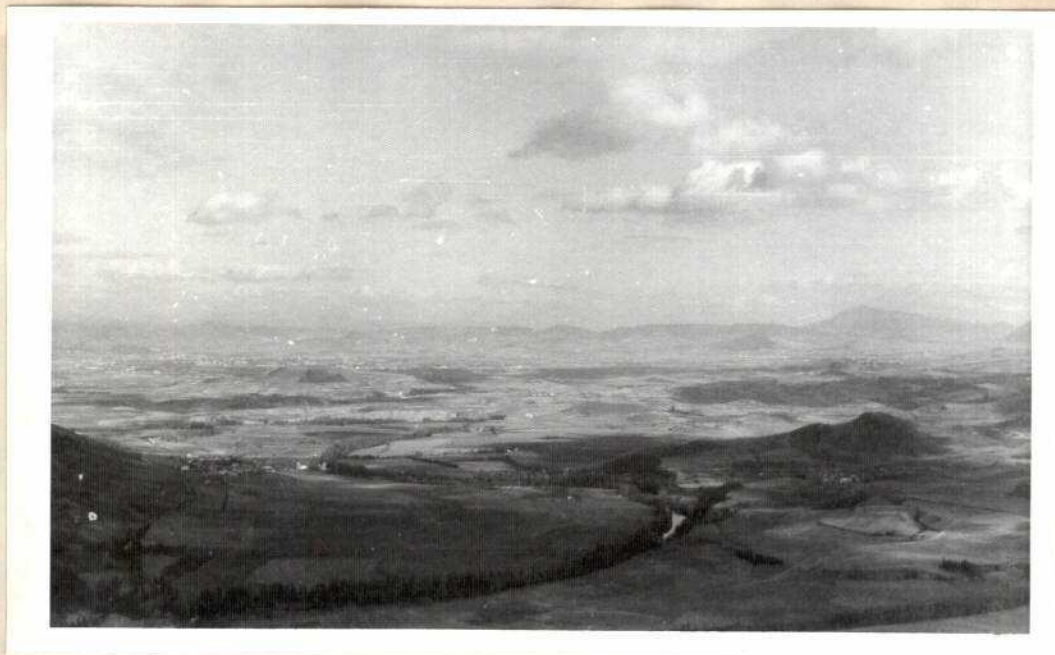
Vista Sur del circo de caliza luteciense que rodea al diapiro de Salinas de Oro.



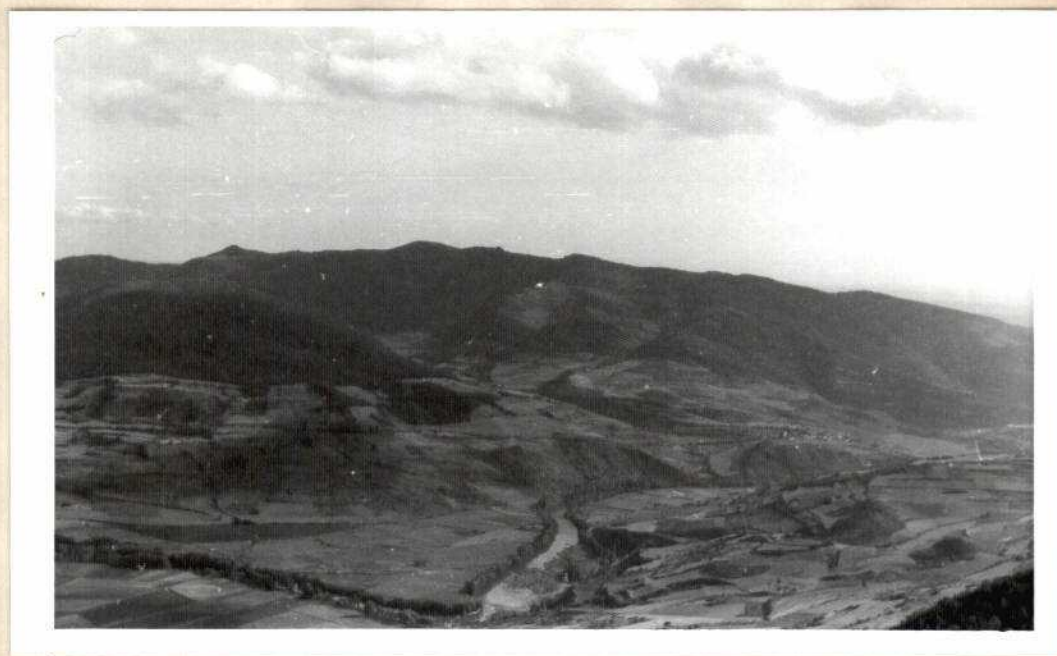
Caliza luteciense en posición vertical a consecuencia de la erupción diapírica.



Caliza luteciense en la presa del pantano de Alloz.



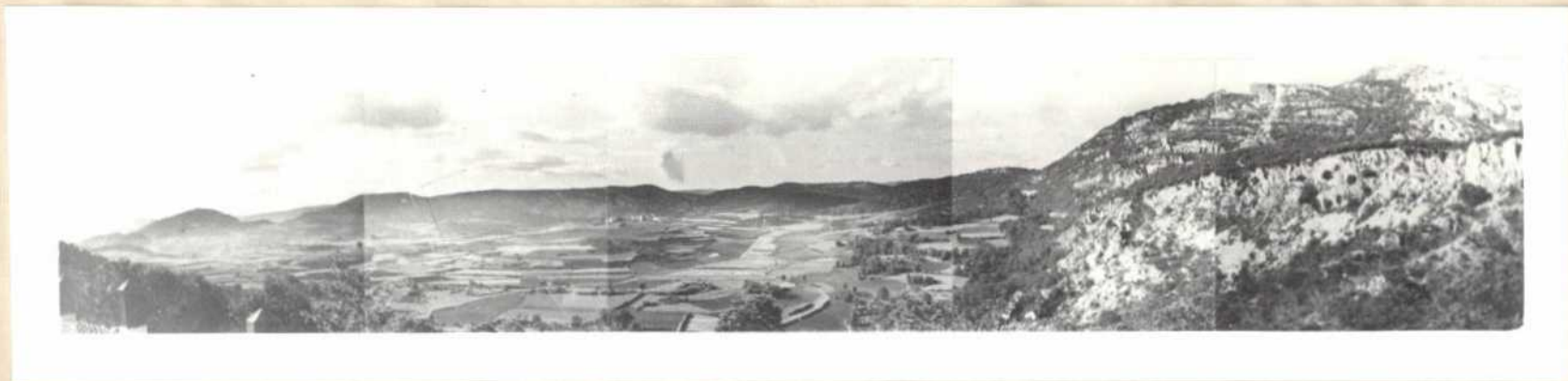
Vista panorámica del sinclinal de Pamplona.
Podemos apreciar el contacto de las margas
azules con el Eoceno inferior.



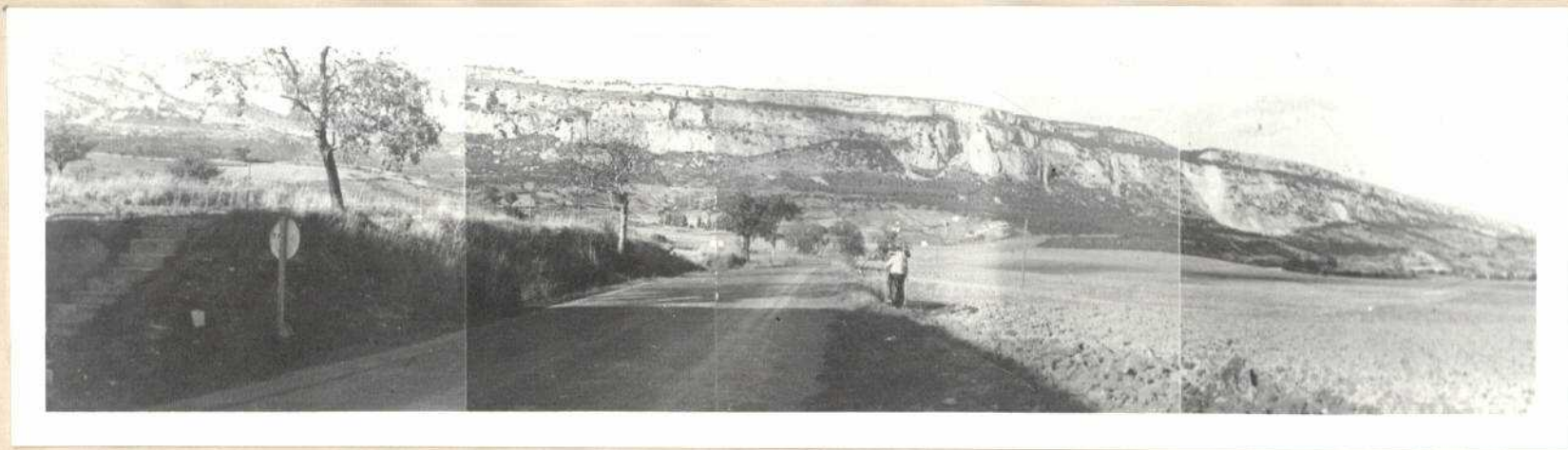
Vista del Valle del río Arga, a la derecha Belascoain.
Las cumbres del fondo son las formaciones detríticas
del Oligoceno en contacto con las margas Bartonien--
ses.



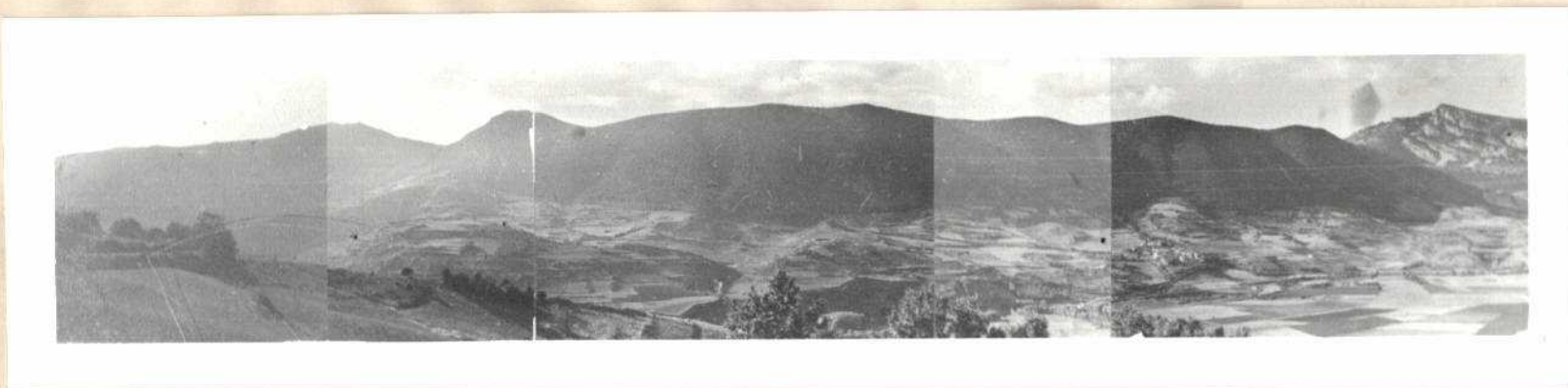
Sinclinal de caliza luteciense entre los diapiros de Salinas y Ulzurrun.



Vista panorámica del diapiro de Salinas de Oro, rodeado de caliza luteciense.



Vista panorámica de la Sierra de Sárvil, se ve la caliza luteciense levantada por el fenómeno diapírico.



Vista del flanco E. del diapiro de Salinas hacia el Valle del Arga, constituido por calizas lutecienses y margas.

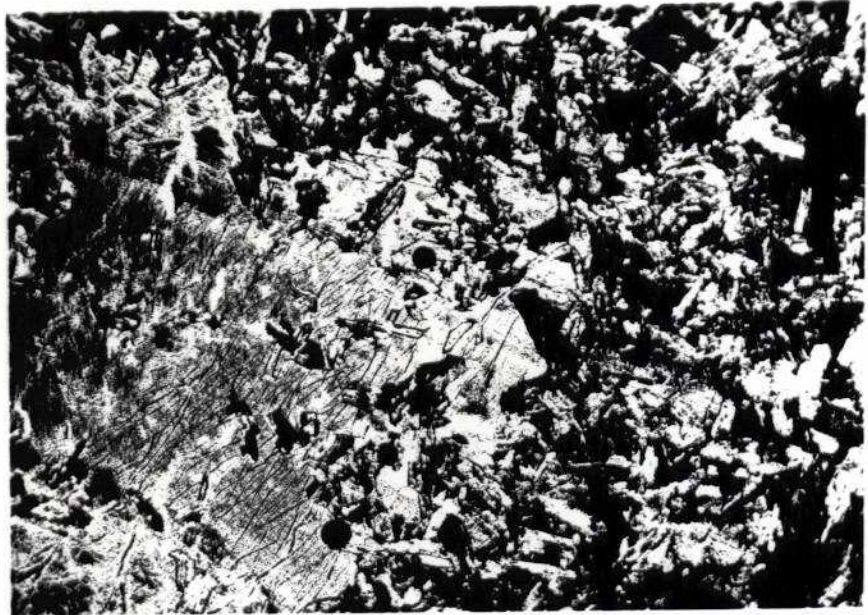


Fig. 1. Ejemplo de "ofita del Keuper, (muestra 7). x 40.

Aunque esta muestra era de roca compacta y aparentemente poco descompuesta, puede verse en esta foto la fuerte alteración y descomposición de los fenocristales. Especialmente el olivino, que solo por sus formas de contorno exagonal puede ser reconocido. La plagioclasa es la menos alterada.

Las pequeñas masas opacas son de oligisto.

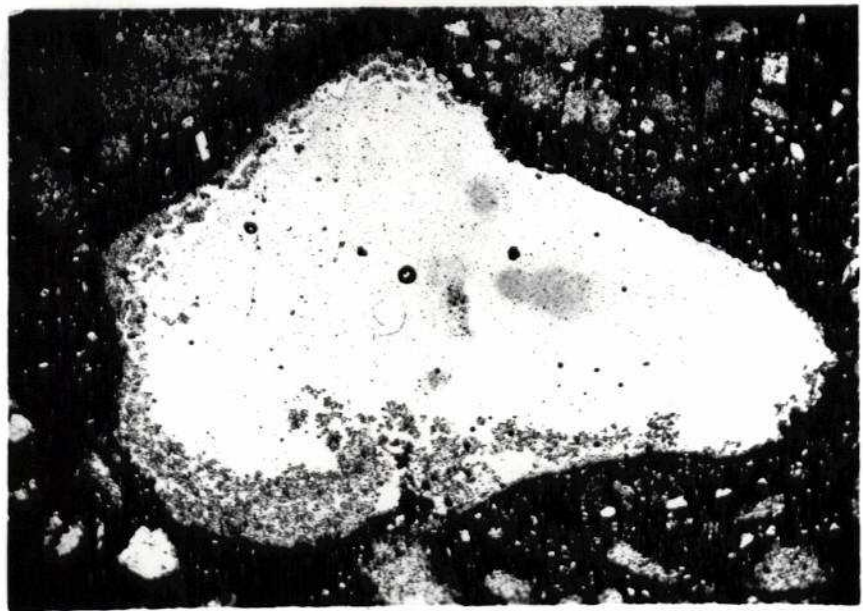


Fig. 2. Brecha de caliza dolomítica gris, incluida en las margas del Keuper, (muestra 6), x15.

La matriz es muy fina e incluye cantos angulosos de grano más grueso y más hialino, cuya alteración y disolución produce los huecos que son característicos de este nivel, que probablemente corresponde al Infralías.



Fig. 3. Dolomía gris oscura, incluida en las margas del Keuper, (muestra 3), x50.

La matriz está recrystalizada de un modo peculiar, propio del dinamometamorfismo. Contiene arcilla formando manchas difusas, pero no se ven restos fósiles.

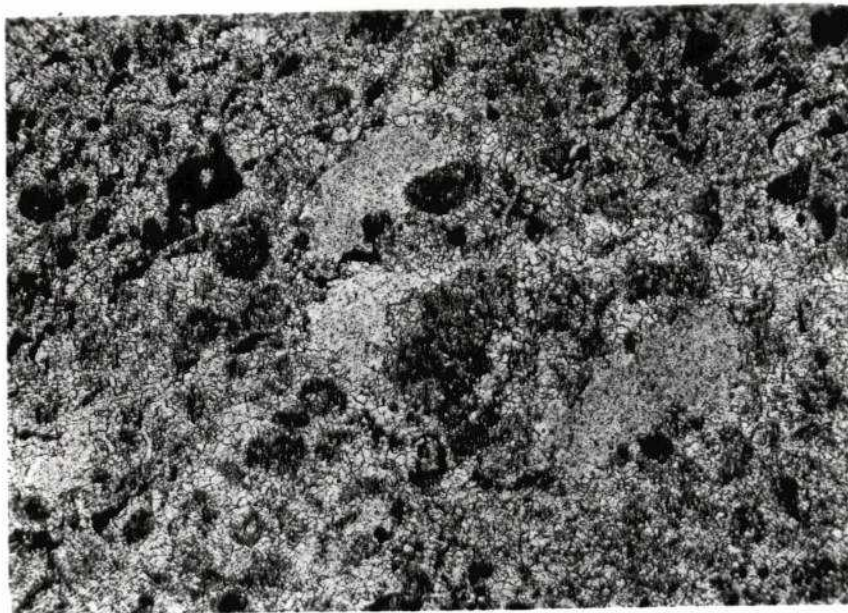


Fig. 4. Dolomía negro-gris, incluida en las margas del Keuper, (muestra 8), x50.

Hay niveles llenos de nódulos margosós pequeños, estirados y deformados, y otros niveles están llenos de nódulos redondeados, junto con algunos pequeños Ammodiscidos y Ostrácodos.

Esta microfacies aparece siempre acompañando al Keuper y corresponde al Lías inferior, Sinemuriense.

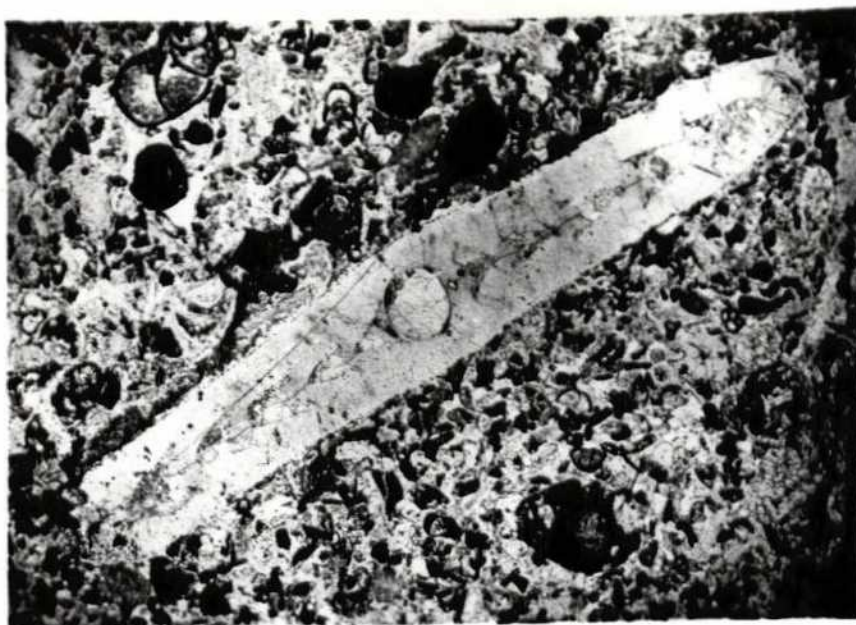


Fig. 5. Caliza del Luteciense, (muestra 2), x15.
La matriz es caliza y contiene muchos restos mal definidos, entre ellos Equinodermos, Assilinas, pequeños Nummulites, Alvelina y Fabiania cassis.
Luteciense superior.

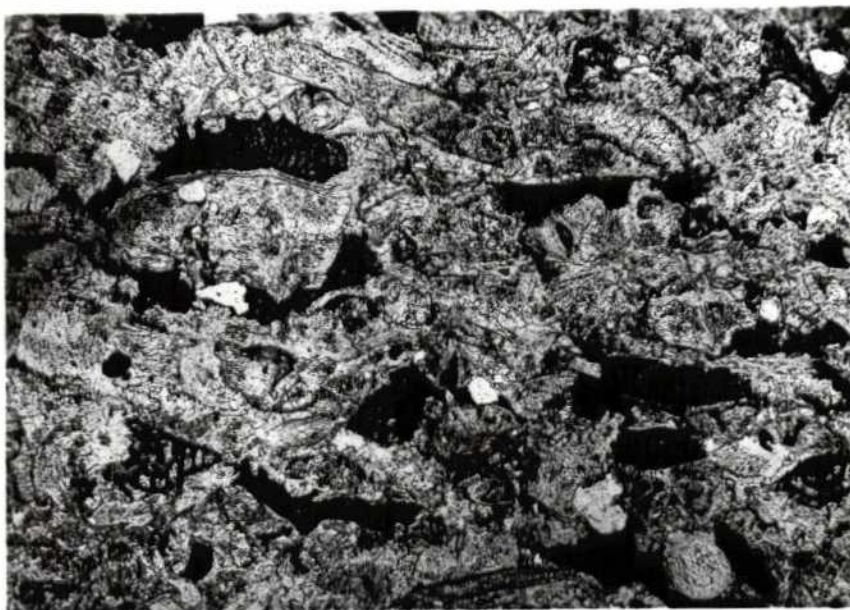


Fig. 6. Caliza del Auversienne, (muestra 5), x40.
La matriz es caliza, con algo de cuarzo y glauconita y muchos restos, en general rotos: Melobesias, Briozoos, alguna Discocyclina, etc.
Facies epicontinental nerítica del Priabonense inferior.

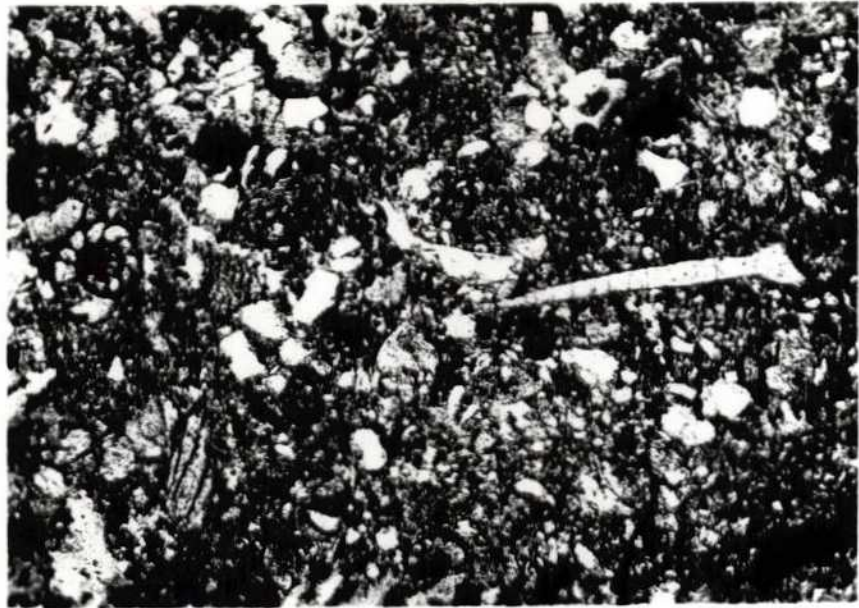


Fig. 7. Margas del "bartoniense de Pamplona", (muestra 1), x40.
La matriz es margosa y finamente detrítica, con mucho cuarzo, espículas, fragmentos de Melobesias y Foraminíferos: Globigerínidos, Globorotálidos, Cibicides, etc.
Ambiente epicontinental del Priaboniense superior.
